戚嘉敏, 许逸林, 张鹏, 等. 3 种木兰科珍稀濒危树种的光合及固碳特性[J]. 华南农业大学学报, 2018, 39(3): 90-95.

## 3 种木兰科珍稀濒危树种的光合及固碳特性

戚嘉敏<sup>1</sup>,许逸林<sup>1</sup>,张 鹏<sup>1</sup>,奚如春<sup>1,2</sup>,陆 晨<sup>1</sup>,高 乐<sup>1</sup> (1华南农业大学林学与风景园林学院,广东广州 510642; 2广东省森林植物种质创新与利用重点实验室,广东广州 510642)

摘要:【目的】阐明木兰科 Magnoliaceae 珍稀濒危树种光合及固碳特性,为其保护利用提供理论技术依据。【方法】以亮叶木莲 Manglietia lucida、香木莲 M. aromatica 和开甫木莲 M. kaifui 为研究对象,采用 LI-6400 便携式光合仪对其光合参数特征进行测定分析,并对其固碳释氧量进行估算,综合评价其适应性及生态效应。【结果】3 个树种的净光合速率日变化在 7 月份表现为双峰型,在 10 月份表现为单峰型。其光合效率在 7 月份为: 开甫木莲 (5.35  $\mu$ mol·m<sup>-2</sup>·s<sup>-1</sup>)>亮叶木莲 (2.87  $\mu$ mol·m<sup>-2</sup>·s<sup>-1</sup>)>香木莲 (2.78  $\mu$ mol·m<sup>-2</sup>·s<sup>-1</sup>); 在 10 月份为: 香木莲 (6.46  $\mu$ mol·m<sup>-2</sup>·s<sup>-1</sup>)>开甫木莲 (6.24  $\mu$ mol·m<sup>-2</sup>·s<sup>-1</sup>)>亮叶木莲 (5.74  $\mu$ mol·m<sup>-2</sup>·s<sup>-1</sup>)。3 个树种的固碳释氧量为: 开甫木莲>香木莲>亮叶木莲。【结论】参试植物的生长在 10 月份比 7 月份更为旺盛; 开甫木莲对强光的利用能力最佳; 固碳释氧能力最强的植物为开甫木莲。

关键词:木兰科;濒危树种;光合作用;固碳量;释氧量

中图分类号: S792.99

文献标识码: A

文章编号: 1001-411X(2018)03-0090-06

# Photosynthetic and carbon sequestration characteristics of three rare and endangered species of Magnoliaceae

QI Jiamin<sup>1</sup>, XU Yilin<sup>1</sup>, ZHANG Peng<sup>1</sup>, XI Ruchun<sup>1,2</sup>, LU Chen<sup>1</sup>, GAO Le<sup>1</sup>
(1 College of Forestry and Landscape Architecture, South China Agricultural University, Guangzhou 510642, China;
2 Guangdong Key Laboratory for Innovative Development and Utilization of Forest Plant Germplasm,
Guangzhou 510642, China)

Abstract: 【Objective】 To illuminate the photosynthetic and carbon sequestration characteristics of rare and endangered species of Magnoliaceae, and provide theory and technology bases for their conservation and utilization. 【Method】 *Manglietia aromatica*, *M. lucida* and *M. kaifui* were studied with LI-6400 portable photosynthetic system measuring photosynthetic characteristics. Their carbon sequestration and oxygen release amounts were estimated to evaluate comprehensively their adaptabilities and ecological effects. 【Result】 The diurnal variations of net photosynthetic rates of three species displayed bimodal curves with obvious midday depression in July and unimodal curves in October. The daily mean values of net photosynthetic rates of three species in July were 5.35 μmol·m<sup>-2</sup>·s<sup>-1</sup> (*M. kaifui*), 2.87 μmol·m<sup>-2</sup>·s<sup>-1</sup> (*M. lucida*) and 2.78 μmol·m<sup>-2</sup>·s<sup>-1</sup> (*M. aromatica*) successively, and the values in October were 6.46 μmol·m<sup>-2</sup>·s<sup>-1</sup> (*M. kaifui*), 6.24 μmol·m<sup>-2</sup>·s<sup>-1</sup> (*M. aromatica*) and 5.74 μmol·m<sup>-2</sup>·s<sup>-1</sup> (*M. lucida*) respectively. The carbon sequestration and oxygen release amount of three species was in order of *M. kaifui*>*M. aromatica*>*M. lucida*. 【Conclusion】 The test plants display more

收稿日期:2017-08-31 优先出版日期:2018-04-16

优先出版网址: http://kns.cnki.net/kcms/detail/44.1110.S.20180416.1031.012.html

作者简介: 咸嘉敏 (1992—), 女, 硕士研究生, E-mail: 461831129@qq.com; 通信作者: 奚如春 (1963—), 男, 教授, 博士, E-mail: xirc2003@126.com

vigorous growth in October than July. *M. kaifui* has the best capacity of utilizing strong light while *M. aromatica* has the best capacity of utilizing weak light. *M. kaifui* has the best carbon sequesteration and oxygen release abilities among three species.

Key words: Magnoliaceae; endangered species; photosynthesis; carbon sequestration; oxygen release amount

木兰科 Magnoliaceae 绝大多数是第三纪古热 带植物区系的孑遗植物,是现存被子植物中较原始 类群[1]。全球木兰科植物共18属335种,其中有 14 属 165 种广泛分布在我国 22 个省 (区), 但其主 要分布区为华南和西南地区[2]。而木莲属 Manglietia 既是木兰科中的古老类型又是亚洲特有的属, 该属多为国家一、二级保护植物,同时极具园林观 赏价值,因此木莲属植物具有重要的研究和保护价 值。大多濒危植物的濒危机制与其对立地条件,如 光、水、肥、气、热等因子的要求密不可分,而光合作 用对植物生长发育起着至关重要的作用,直接决定 植物体的生产力高低[3-5],同时,森林具有的碳汇功 能及降低温室气体的功能受到广泛关注[6]。因此, 研究濒危植物光合及固碳特征,能够了解其濒危机 制,制定可行的保护方案。近年来,国内外学者对华 木莲 Sinomanglietia glauca、乳源木莲 M. yuyuanensis 等树种的光合特性及其生境适应性进 行了研究分析[7-9]。亮叶木莲 M. lucida、香木莲 M. aromatica 和开甫木莲 M. kaifui 等珍稀濒危树种已 备受各界重视和生产推荐,然而这些树种的相关研 究相对滞后,严重地阻碍了它们的保护利用和推 广。因此,本文开展该3个树种的研究,旨在阐明其 光合及固碳特征,为其配置造林和生态效益评价提 供理论技术依据。

## 1 材料与方法

#### 1.1 试验区域概况

试验区域位于广州市东北郊 (113°21′26″E, 23°9′26″N), 华南农业大学试验苗圃。年平均气温为 21.8  $\mathbb{C}$ , 各月平均气温均在 13.0  $\mathbb{C}$  以上, 最冷为 1月, 平均气温 13.3  $\mathbb{C}$ , 最热为 8月, 平均气温 28.8  $\mathbb{C}$ 。全年最高温 38  $\mathbb{C}$ , 最低温-0.6  $\mathbb{C}$ ; 年降水量 1 638 mm, 4-9 月份的降水量占全年降水量的

80%, 尤以 5—8 月份最高, 占全年降水量的 62%, 年平均湿度 79%<sup>[10]</sup>。

#### 1.2 试验材料

试验材料均选自于华南农业大学试验苗圃,所用苗木为采用3年生黄兰大砧嫁接而成的盆栽大苗,所有苗木实行常规田间管理。每个树种选取3棵生长正常的苗木为试验材料。参试树种基本情况与试验苗木生长指标状况见表1。

#### 1.3 光合参数测定

分别于 2016 年 7 月和 10 月的晴朗天气进行。在每株样树上,选取树冠中上部向阳的当年生枝条上顶端的第 3~5 片成熟功能叶片进行活体测定,测定时段 06:00—18:00,步长 2 h。采用 LI-6400 型便携式光合测定仪 (Steady state promoter, Li-COR, INC, USA),分别测定记录其净光合速率 (Pn)、气孔导度 (Gs)、蒸腾速率 (Tr)、胞间  $CO_2$  浓度 (Ci)、气温( $\theta$ )、空气相对湿度 (RH) 和光合有效辐射 (PAR),每株测定 3 片叶,重复记录 5 次,取其平均值进行统计分析。水分利用率 (WUE) 为净光合速率与蒸腾速率的比值 (WUE=Pn/Tr); 光能利用效率 (SUE) 为光合速率与光合有效辐射的比值 (SUE=Pn/PAR)。

#### 1.4 光响应特征值测定

在 2016 年 10 月中旬选择一个晴天的 10:00—11:30 进行。将红蓝光源 LED 设定光合有效辐射 (PAR) 梯度为  $0.25.50.100.200.300.400.600.800.1000.1200.1500 和 2000 <math>\mu$ mol·m<sup>-2</sup>·s<sup>-1</sup>,自动测定不同光照强度下叶片的净光合速率,设置最长等待时间为 200 s,最短为 120 s。每种试验材料测 3 株,5 次重复取平均值。利用模拟得出光饱和点(LSP)、光补偿点(LCP)、光饱和最大净光合速率( $\mu$ mmax)、暗呼吸速率( $\mu$ Rd)和表观量子效率( $\mu$ RQY)。

表 1 参试植物的基本情况

Tab. 1 The basic information of test plants

树种	自然分布	濒危程度	保护级别	地径/cm	苗高/m
亮叶木莲	云南	濒危种	国家重点I级[11]	1.07±0.91	0.35±0.05
香木莲	滇东南、桂西南	濒危种	国家重点II级[11]	$1.96 \pm 0.97$	$0.83 \pm 0.02$
开甫木莲	云南	易危种		$1.56\pm1.05$	$0.45 \pm 0.04$

#### 1.5 固碳释氧测定与估算

首先根据树种在某一季节的 Pn 日变化绘制曲线,再用简单积分法计算各树种在测定当日的净同化量,计算公式为[12]:

$$T = \sum_{i=1}^{j} [3600(P_{i+1} + P_i)(t_{i+1} - t_i)/1000], \qquad (1)$$

式 (1) 中; T 为测定当日的单位叶面积净同化总量, $mmol \cdot m^{-2} \cdot d^{-1}$ ;  $P_i$  和  $P_{i+1}$  分别为初测点和下一测定点的瞬时净光合速率, $\mu mol \cdot m^{-2} \cdot s^{-1}$ ;  $t_i$  和  $t_{i+1}$  分别为初测点和下一测定点的瞬时时间; i 为测定次数。

一般植物晚上的暗呼吸消耗按照白天同化量的 20% 计算<sup>[13-14]</sup>,测定当日的同化总量换算成该日单位面积叶片的净固碳量和单位面积叶片进行光合作用时的释氧量,计算公式为:

净固碳量 = 
$$44(1-0.2)T/1000$$
, (2)

释氧量 = 
$$32(1-0.2)T/1000$$
, (3)

式 (2) 中, 44 为  $CO_2$  的摩尔质量,  $g \cdot mol^{-1}$ ; 式 (3) 中, 32 为  $O_2$  的摩尔质量,  $g \cdot mol^{-1}$ 。

#### 1.6 数据处理

所得测定数据使用 LI-6400 仪器自带软件处理,并采用 Microsoft Excel 2010、SPSS 22.0 进行作图与统计分析。

### 2 结果与分析

#### 2.1 大气环境因子

各大气环境因子的日变化曲线均为单峰型 (图 1)。 $\theta$  和 PAR 均在 12:00 达到峰值,7 月和 10 月的最大  $\theta$  分别为 41.4 和 33.6  $^{\circ}$ C,最大 PAR 分别为 1798 和 1183  $\mu$ mol·m<sup>-2</sup>·s<sup>-1</sup>。RH 在 10:00 左右达到最小值,7 和 10 月 RH 的日均值分别为 65.3% 和 48.6%;7 和 10 月的大气  $CO_2$  摩尔分数 ( $x_{CO_2}$ ),日均值分别为 382 和 437  $\mu$ mol·mol<sup>-1</sup>。

#### 2.2 光合参数的动态变化特征

2.2.1 净光合速率 参试植物 7 月份 Pn 的日变化 如图 2a 所示,其 Pn 的日变化曲线均为双峰型。不同植物达到第 1 个峰值的时间不同,香木莲和亮叶木莲在 06:00 达到峰值,开甫木莲在 08:00 达到峰值,但均在 14:00 达到第 2 个峰值。3 种木莲在 10:00—12:00 期间均有明显的光合午休现象,Pn 有所下降,这是植物在适应广东地区 7 月份的高温强光环境而进行的自我保护机制,其中香木莲和开甫木莲的下降幅度比亮叶木莲大,午休现象也更明显。参试植物的 Pn 日均值由大到小依次为:开甫木莲 (5.35 μmol·m²·s⁻¹)>壳叶木莲(2.87 μmol·m²·s⁻¹)>香木莲 (2.78 μmol·m²·s⁻¹)。

参试植物 10 月份 Pn 的日变化如图 2b 所示,

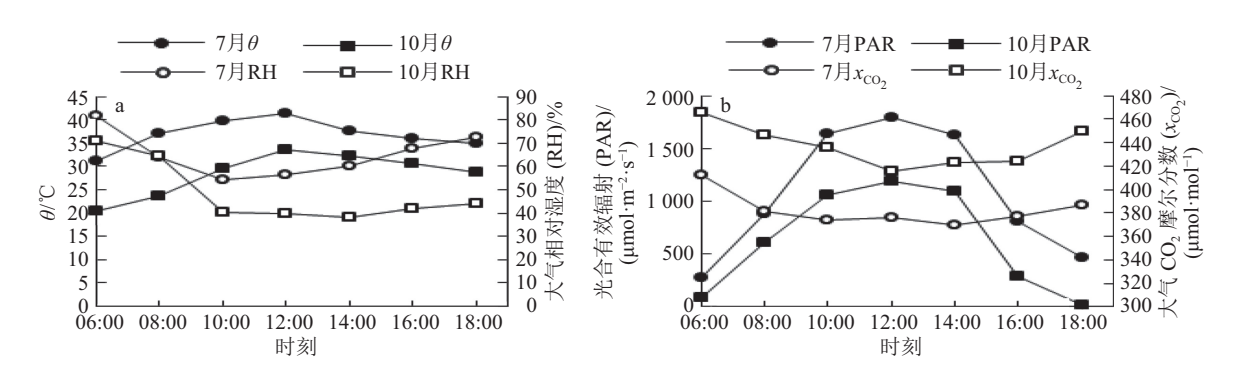


图 1 大气环境因子的日动态变化

Fig. 1 Diurnal dynamic changes of atmosphere environment factors

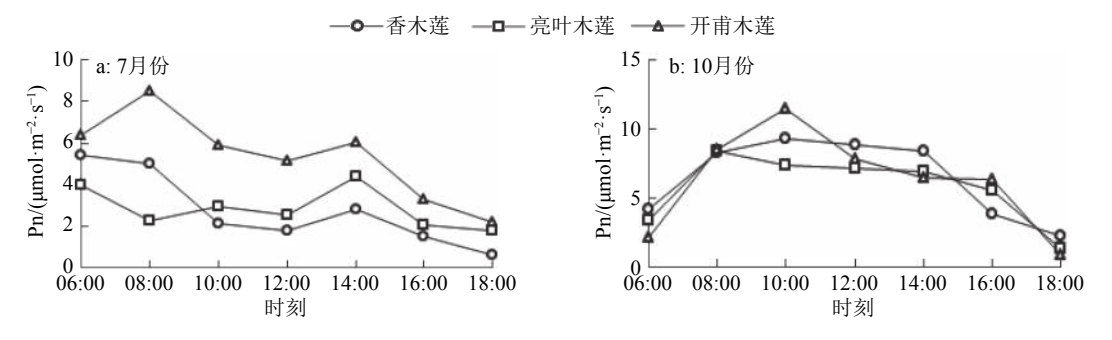


图 2 参试植物 7 和 10 月份净光合速率 (Pn) 的动态变化

Fig. 2 Dynamic changes of net photosynthetic rates (Pn) of test plants in July and October

其 Pn 的日变化曲线为单峰型, 无光合午休现象。香木莲和开甫木莲在 10:00 达到峰值, 亮叶木莲在 08:00 达到峰值。Pn 的日均值由大到小依次为: 香木莲  $(6.46 \, \mu mol \cdot m^{-2} \cdot s^{-1})$ > 开甫木莲  $(6.24 \, \mu mol \cdot m^{-2} \cdot s^{-1})$ 。

参试植物 Pn 的日均值 10 月份都大于 7 月份,说明在这 2 个月份,木莲属植物更适应 10 月份的环境条件,结合图 1 可以看出,10 月份的 PAR 和Ta 均小于 7 月份,因此可以判断,高温强光的天气对木莲属植物的光合作用有一定的抑制作用,开甫木莲 7 和 10 月份 Pn 的日均值最接近,所以它对7 月份的高温强光气候条件适应性最好。

2.2.2 蒸腾速率 参试植物 7 月份 Tr 的日变化如图 3a 所示,香木莲和开甫木莲 Tr 的日变化曲线为双峰型,亮叶木莲为单峰型。香木莲和开甫木莲 Tr 的日变化曲线的 2 个峰值均出现在 08:00 和14:00,亮叶木莲的峰值出现在 14:00。香木莲和开甫木莲在 10:00—12:00 期间 Tr 出现明显的下降,可以推断,在高温强光的午间,木莲属植物产生光合午休,使气孔闭合,减少水分蒸腾,Tr 下降;亮叶木莲的 Tr 在午间呈上升趋势,结合图 2a 中亮叶木莲的光和午休现象相对其他 2 种植物并不明显,可以判断 7 月份中午的高温强光并不能使亮叶木莲的气孔大量闭合。参试植物的 Tr 日均值由大到小依次为: 开甫木莲 (3.65 mmol·m<sup>-2</sup>·s<sup>-1</sup>)>亮叶木莲 (2.57 mmol·m<sup>-2</sup>·s<sup>-1</sup>)>香木莲 (1.56 mmol·m<sup>-2</sup>·s<sup>-1</sup>)。

3 种参试植物 10 月份 Tr 的日变化如图 3b 所示,其 Tr 的日变化曲线均为单峰型。不同植物达到峰值的时间不同,香木莲为 12:00,开甫木莲为 10:00,亮叶木莲没有明显的峰值,变化幅度较小。Tr 的日均值由大到小依次为:香木莲(1.85 mmol·m<sup>-2</sup>·s<sup>-1</sup>)>开甫木莲(1.20 mmol·m<sup>-2</sup>·s<sup>-1</sup>)。

亮叶木莲和开甫木莲 7 月份的蒸腾作用均比 10 月份强,香木莲在 2 个不同月份的蒸腾作用比较接近。参照一些学者的研究,影响 Tr 的主要环境因子是 Ta,因此一般而言,植物在温度较高的 7 月份会有更高的 Tr。而香木莲 7 月份的蒸腾作用低于10 月份,推测是香木莲在高温的 7 月份,气孔会处于较长时间的闭合状态以减少水分蒸腾,与 7 月份香木莲的 Pn 日均值最低的结论相吻合。

2.2.3 光合净固碳量和释氧量 根据公式 (1)、(2) 和 (3) 计算出的参试植物在 7 和 10 月份的单位 叶面积净固碳量和释氧量见表 2。3 种木莲属植物在 7 和 10 月份的固碳能力均表现为: 开甫木莲>香木莲>亮叶木莲, 参试植物的固碳能力均为 10 月份强于 7 月份,香木莲和亮叶木莲 10 月份的固碳量均比 7 月份有较大的增长,香木莲 10 月份净固碳量约为 7 月份的 2.5 倍,亮叶木莲为 2.3 倍,而开甫木莲仅为 1.3 倍。说明 3 种参试的木莲属植物在适宜的温度条件下能更好地生长,3 种植物中开甫木莲对高温的 7 月份的适应性最强。

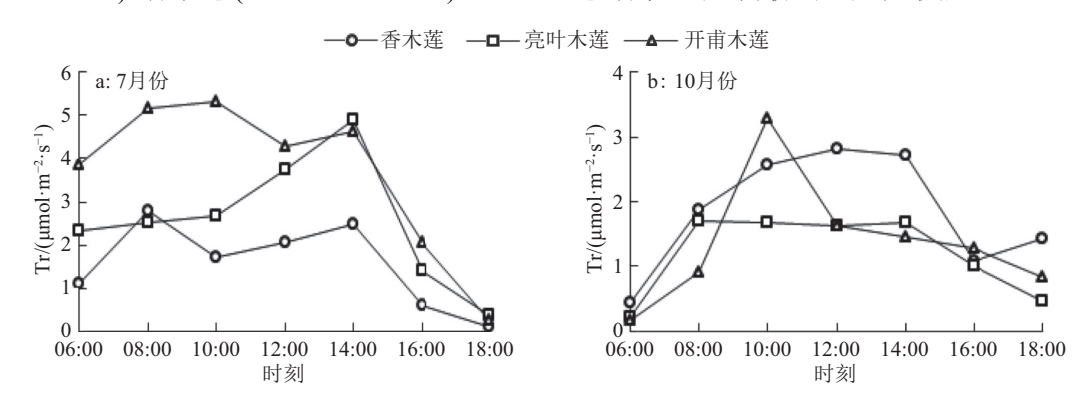


图 3 参试植物 7 和 10 月份蒸腾速率 (Tr) 的日动态变化

Fig. 3 Diurnal dynamic changes of transpriration rates (Tr) of test plants in July and October

表 2 参试植物 7 和 10 月份的日净固碳量与释氧量1)

Tab. 2 Daily mean net carbon sequestration and oxygen release amounts of test plants in July and October

树种	净固碳量	$/(g \cdot m^{-2} \cdot d^{-1})$	释氧量/(g·m <sup>-2</sup> ·d <sup>-1</sup> )			
	7月份	10月份	7月份	10月份		
香木莲	4.15±0.13b	10.65±0.34a	3.02±0.10b	7.74±0.25a		
亮叶木莲	4.12±0.43b	9.33±0.53a	2.99±0.31b	$6.78\pm0.39a$		
开甫木莲	$8.41 \pm 0.64a$	10.71±0.46a	6.11±0.46a	7.79±0.33a		

#### 2.3 光响应特征

2.3.1 光响应进程 参试植物的光合光响应进程如图 4 所示, 3 种参试植物的光响应变化趋势基本相似。当 PAR 为 0 时, 各树种的 Pn 为负值, 说明此时植物只进行呼吸作用, 此时植物 Pn 值的相反数即为其暗呼吸速率 (Rd)。在低光强 (0~200 μmol·m<sup>-2</sup>·s<sup>-1</sup>)时, Pn 随 PAR 的增大呈线性增大, 后增长逐渐趋于平缓, 当达到某一光强时, Pn 不再随 PAR 增大而增大。

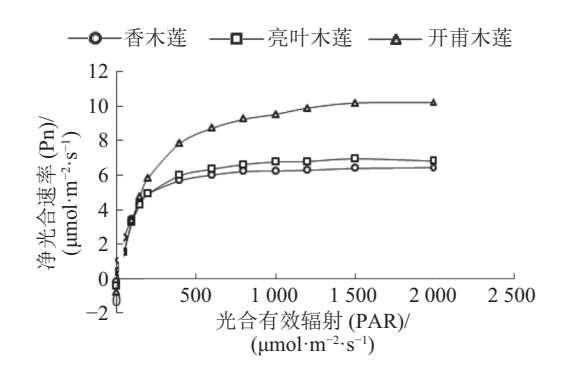


图 4 参试植物的光合光响应曲线

Fig. 4 Photosynthetic light-response curves of test plants

2.3.2 光响应参数 利用国内学者总结得到的新模型——直角双曲线修正模型<sup>[15]</sup>对3种参试植物的光响应模型进行拟合,并得到光响应参数模拟值,根据图4估算的光响应参数实测值与模型拟合值如表3所示。从表3中可以看出,与估算的实测值对比,直角双曲线修正模型对3种木莲的光响应进程模拟效果均较好( $R^2>0.9$ ),且各项模拟参数的相似程度高。

根据拟合结果分析 3 种木莲的光响应特征。参试植物中,开甫木莲的 LSP 最高,为 2 261  $\mu$ mol·m<sup>-2</sup>·s<sup>-1</sup>,其利用强光的能力最强,亮叶木莲的 LSP 最低,为 1 364  $\mu$ mol·m<sup>-2</sup>·s<sup>-1</sup>,其利用强光的能力最弱。参试植物 LCP 从大到小依次为: 开甫木莲 (13.34  $\mu$ mol·m<sup>-2</sup>·s<sup>-1</sup>)>亮叶木莲 (9.13  $\mu$ mol·m<sup>-2</sup>·s<sup>-1</sup>)>香木莲 (2.39  $\mu$ mol·m<sup>-2</sup>·s<sup>-1</sup>)。参试植物 Rd 最小的是香木莲,最大为开甫木莲,因此 3 种木莲中香木莲利用弱光的能力最强。参试植物的光饱和 Pn<sub>max</sub> 由大到小依次为: 开甫木莲 (10.34  $\mu$ mol·m<sup>-2</sup>·s<sup>-1</sup>)>亮叶木莲 (6.65  $\mu$ mol·m<sup>-2</sup>·s<sup>-1</sup>)>香木莲 (6.30  $\mu$ mol·m<sup>-2</sup>·s<sup>-1</sup>)。

表 3 参试植物光响应参数实测值与模拟值

Tab. 3 Measured and simulated values of test plants' light-response parameters

-									
数值 树种 数据	粉店	光饱和点	光补偿点	最大净光合	暗呼吸速率	表观	量子效率(A	.QY)/	
	(LSP)/	(LCP)/	速率 (Pn <sub>max</sub> )/	(Rd)/	$(\mu mol \cdot \mu mol^{-1})$		1)	$R^2$	
	类型	$(\mu mol \!\cdot\! m^{-2} \!\cdot\! s^{-l})$	$(\mu mol \!\cdot\! m^{\!-2} \!\cdot\! s^{\!-1})$	$(\mu mol \!\cdot\! m^{\!-2} \!\cdot\! s^{\!-l})$	$(\mu mol \!\cdot\! m^{-2} \!\cdot\! s^{-l})$	初始值	光饱和点	均值	-
香木莲	实测值	1 500	6.21	6.29	0.15	0.025			
	拟合值	1 700	2.39	6.30	0.19	0.079	0.076	0.081	0.999
开甫木莲	实测值	1 600	23.75	9.59	0.78	0.033			
	拟合值	2 261	13.34	10.34	0.88	0.066	0.061	0.070	0.999
亮叶木莲	实测值	1 400	16.76	6.82	0.45	0.027			
	拟合值	1 364	9.13	6.65	0.63	0.069	0.064	0.074	0.997

## 3 讨论与结论

3 种木莲 Pn 的日变化曲线在 7 月份呈双峰型,有明显光合午休现象,光合作用水平为开甫木莲>亮叶木莲>香木莲,Pn 日变化曲线在 10 月份呈单峰型,光合作用水平为开甫木莲>香木莲>亮叶木莲。10 月份净光合速率水平高于 7 月份,因此生长旺盛期在 10 月份。7 月份 Tr 水平最高的植物为开甫木莲,10 月份其为香木莲,香木莲的 Tr 会随着温度上升呈下降趋势。参试植物 10 月份的固碳能力高于 7 月份,且 7 和 10 月份的固碳量为:开甫木莲>香木莲>亮叶木莲。

直角双曲线修正模型对于参试植物的光响应

曲线的拟合效果均较好 ( $R^2>0.9$ ), 光响应变化曲线均为先上升后逐渐平缓, 通过直角双曲线修正模型拟合的光响应参数对比得到, 参试植物中开甫木莲的 LSP 和 Pn<sub>max</sub> 最大; 香木莲的 LCP 和 Rd 最小, 开甫木莲利用强光的能力最强, 香木莲利用弱光的能力最强。

3种木莲的最大日平均光合速率出现在 10月份,说明有部分木兰科树种在大气温度较低和光强较弱的秋季反而有更高的光合速率,与李梦[15]对4种木兰科植物 10月份的光合日变化规律研究结果相似,朱贤良等[8]通过对4种木莲属植物研究后认为参试木莲属植物快速生长期在 10—12月的秋冬低温季节,高温季节生长较慢;在气温、光照和

http://xuebao.scau.edu.cn

CO,浓度相似而湿度较大的条件下,香木莲和亮 叶木莲的日最高 Pn 分别为 9.0 和 9.5  $\mu$ mol·m<sup>-2</sup>·s<sup>-1</sup>, 而本试验中, 仅为 6.0 和 7.0 μmol·m<sup>-2</sup>·s<sup>-1</sup>, 因此, 推 测湿度提高对木莲属植物的光合作用有一定的促 进作用,具体效果还有待进一步研究;香木莲、乳源 木莲和亮叶木莲在夏季的光合午休均出现在 12:00 左右,与本文所得到的结论一致;而法斗木莲M. fadouensis 的光合午休则出现在 15:00, 与本文的研 究结果存在一定差异,说明不同木莲属植物对环境 响应产生的光合午休机理是不同的,具体规律还有 待进一步研究。Farquhar等[16]提出的理论显示,光 合午休分为气孔限制和非气孔限制,判断依据是 Pn、Ci(胞间 CO<sub>2</sub>浓度)和Ls(气孔限制值)的变化模 式,研究植物气孔限制性光合午休的基理,有助于 对木莲属濒危植物濒危基理的研究。在高温强光 下,3种植物都出现了光合午休,因此,在7月份的 中午,可以通过对植株进行遮阴降低叶面温度,缓 和光合午休,提高植物光合速率[17]。本研究中,3种 木莲的光响应曲线变化规律比较一致, 当达到 Pnmax 值后, Pn 没有明显的下降趋势, 说明在无其他胁迫 条件下强光 (2 000 μmol·m<sup>-2</sup>·s<sup>-1</sup>) 对 3 种木兰科植物 没有明显的光抑制作用,与郭起荣等[7]对华木莲、乳 源木莲和巴东木莲 M. patungensis 的测定结果一致。

一些学者的研究指出,植物的固碳能力和光合能力与有机物积累能力有直接的关系<sup>[18-19]</sup>,除了能了解其固碳能力,还能反映树种在不同季节的有机物积累特点,本研究中,3种木莲在10月份的有机物积累能力强于7月份。

现时常用的光合光响应模型中有直角双曲线模型、非直角双曲线模型、指数模型等[20],本文仅用直角双曲线修正模型对3种木莲进行了拟合,并不能代表各植物的最佳拟合方式,其最适光响应模型还有待进一步研究,另外,不同季节和气候对木莲属植物的光响应曲线也有一定的影响,仍有待进一步的研究。本研究结合3种木莲的光合及固碳特性和广东地区的气候状况,表明了高温强光会使参试植物的光合作用变弱,对于一年中5~6个月处于较高温度的广东地区而言,只有开甫木莲比较适合在此地保护栽植,其余2种植物宜在气候更加温和的地区进行保护。

#### 参考文献:

[1] 刘玉壶, 夏念和, 杨惠秋. 木兰科 (Magnoliaceae) 的起

- 源、进化和地理分布[J]. 热带亚热带植物学报, 1995, 4(3): 1-12.
- [2] PAN C, ZHU X Y, JIA W X, et al. Near surface CO<sub>2</sub> concentration and its quantitative relationship with underlying surface in Shanghai City, China[J]. J Appl Ecol, 2015, 26(7): 2123-2130.
- [3] 许大全. 光合作用效率[M]. 上海: 上海科学技术出版 社, 2002.
- [4] 王强, 金则新, 郭水良, 等. 濒危植物长叶榧的光合生理 生态特性[J]. 生态学报, 2014, 34(22): 6460-6470.
- [5] LI S, PEZESHKI S R, GOODWIN S. Effects of soil moisture regimes on photosynthesis and growth in cattail (*Typha latifolia*)[J]. Acta Oecol, 2004, 25(1): 17-22.
- [6] FANG J Y, CHEN A P. Dynamic forest biomass carbon pools in China and their significance[J]. Acta Botanica Sinica, 2001, 43(9): 967-973.
- [7] 郭起荣, 俞志雄, 施建敏. 华木莲与木莲属两树种光合生理生态研究[J]. 江西农业大学学报, 2003, 25(5): 645-651.
- [8] 朱贤良, 严理, 秦武明, 等. 4 种木莲幼苗生长特性与光 合生理研究[J]. 山西农业科学, 2014, 42(11): 1163-1168.
- [9] 李芸瑛, 窦新永, 彭长连. 三种濒危木兰植物幼树光合特性对高温的响应[J]. 生态学报, 2008, 28(8): 3789-3797.
- [10] 吴永彬, 冯志坚. 华南农业大学树木园稀有濒危植物和国家重点保护植物的迁地保护[J]. 华南农业大学学报,2006,27(3):118-121.
- [11] 国家林业局, 国家农业部. 国家重点保护野生植物名录 (第一批)[Z]. 1999-08-04.
- [12] 莫亚鹰, 余金良, 黎念林, 等. 九种木兰科常绿树种的光 合与固碳特性研究[J]. 北方园艺, 2016(17): 82-86.
- [13] FARQUHAR G D, VON CAEMMERER S, BERRY J A. Models of photosynthesis[J]. Plant Physiol, 2001, 125(1): 42-45.
- [14] 叶子飘, 王建林. 植物光合-光响应模型的比较分析[J]. 井冈山学院学报, 2009, 30(4): 9-13.
- [15] 李梦. 木兰科几种常用绿化树种光合特性及固碳能力研究[D]. 杭州: 浙江农林大学, 2014.
- [16] FARQUHAR G D, VON CAEMMERERS S, BERRY J A. A biochemical model of photosynthetic CO<sub>2</sub> assimilation in leaves of C<sub>3</sub> species[J]. Planta, 1980, 149(1): 78-90.
- [17] 王倩. 北美鹅掌楸优良无性系光合特性研究[D]. 泰安: 山东农业大学, 2016.
- [18] GOUDRIAAN J. A simple and fast numerical method for the computation of daily totals of crop photosynthesis[J]. Agric Forest Meteorol, 1986, 38(1): 249-254.
- [19] 白文明, 包雪梅. 乌兰布和沙区紫花苜蓿生长发育模拟研究[J]. 应用生态学报, 2002, 13(12): 1605-1609.
- [20] 王海珍, 韩路, 徐雅丽, 等. 干旱胁迫下胡杨光合光响应过程模拟与模型比较[J]. 生态学报, 2017, 37(7): 2-10.

【责任编辑 李晓卉】